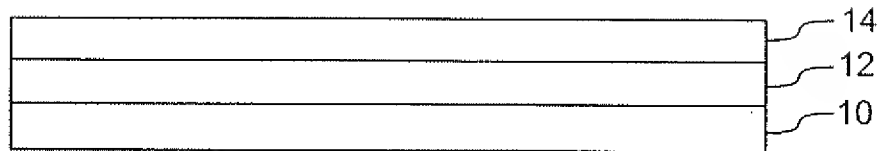
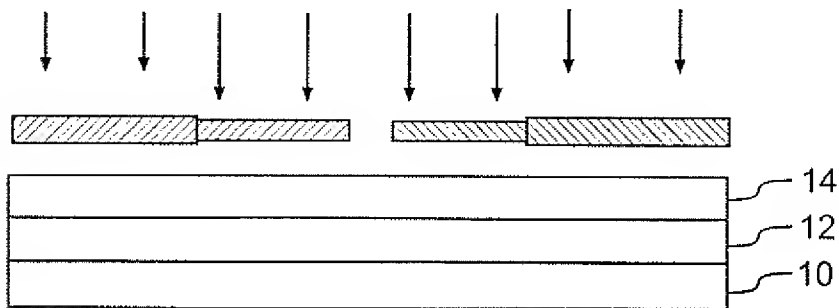


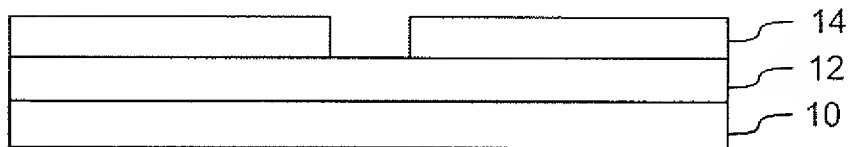
1/6  
Xiaomeng Chen, et al  
BUR920020123US2



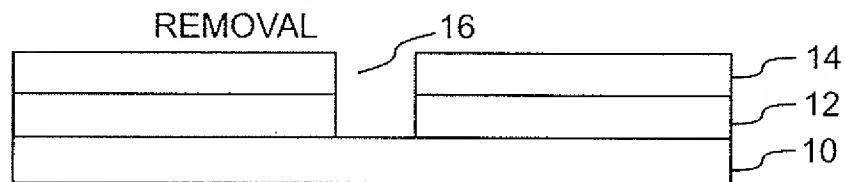
**FIG. 1a**



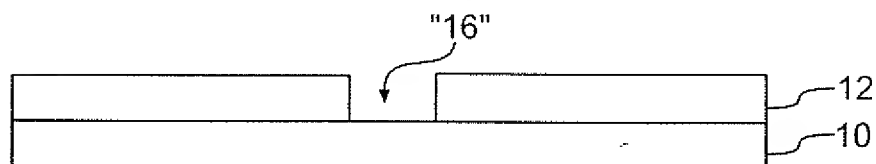
**FIG. 1b**



**FIG. 1c**

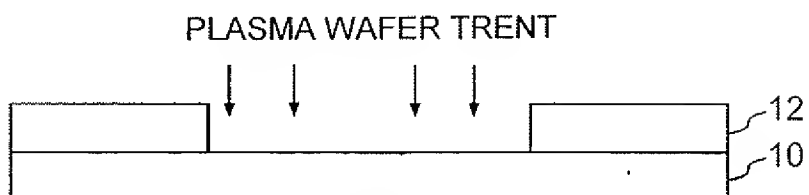


**FIG. 1d**

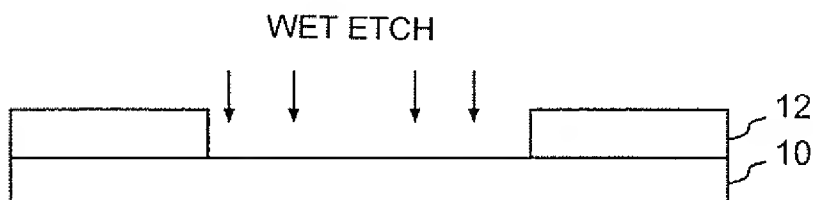


**FIG. 1e**

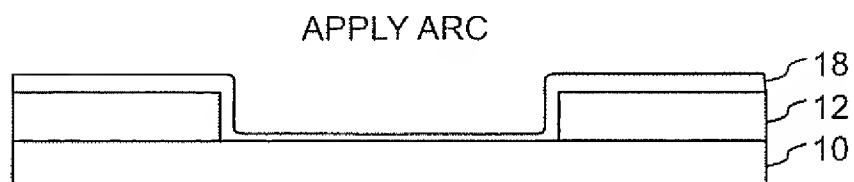
2/6  
BUR920020123US2



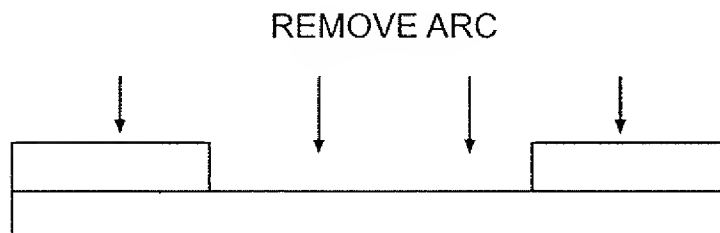
**FIG. 2**



**FIG. 3a**

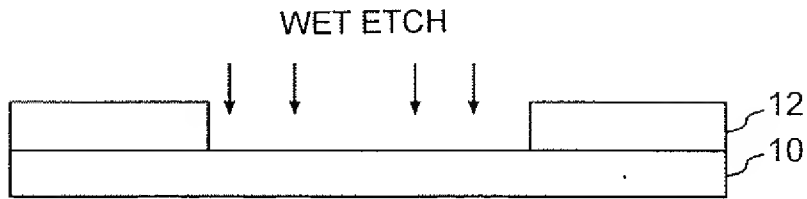


**FIG. 3b**

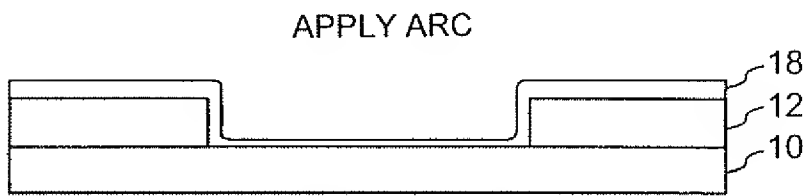


**FIG. 3c**

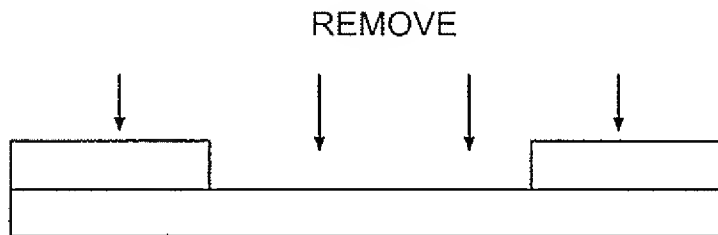
3/6  
BUR920020123US2



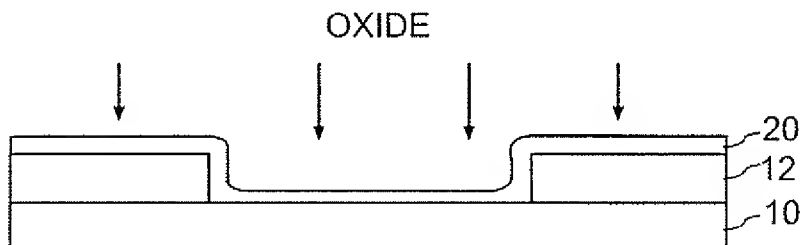
**FIG. 4a**



**FIG. 4b**

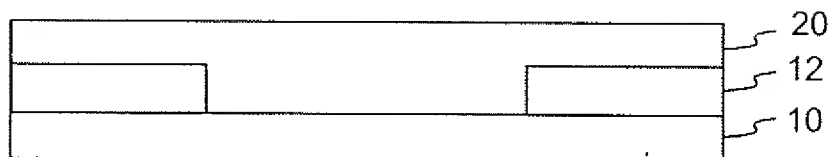


**FIG. 4c**

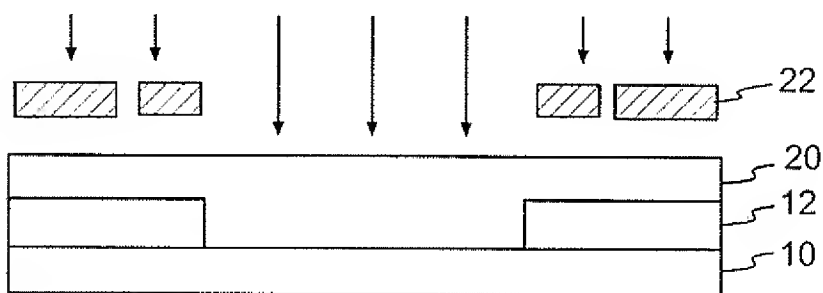


**FIG. 4d**

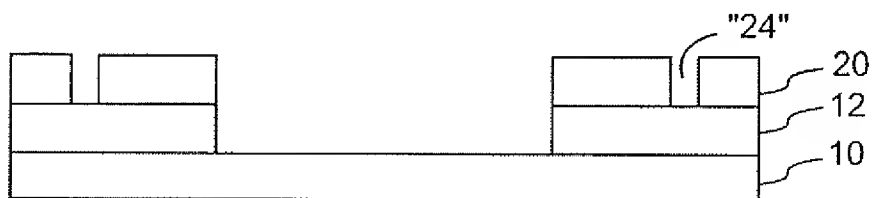
4/6  
BUR920020123US2



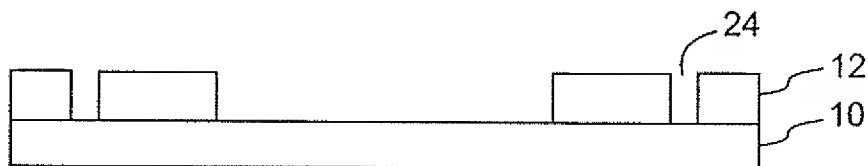
**FIG. 5a**



**FIG. 5b**

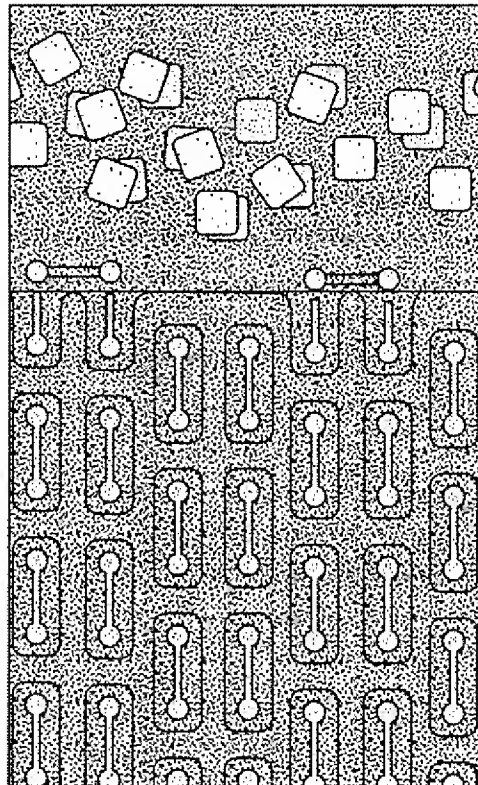


**FIG. 5c**



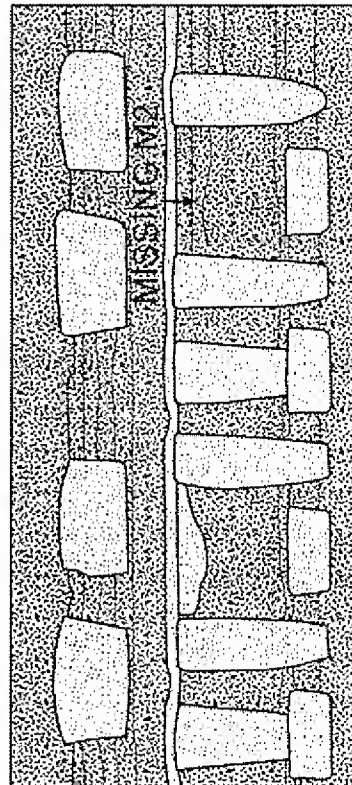
**FIG. 5d**

**FIG. 6a**



TOP

**FIG. 6b**



CROSS-SECTION

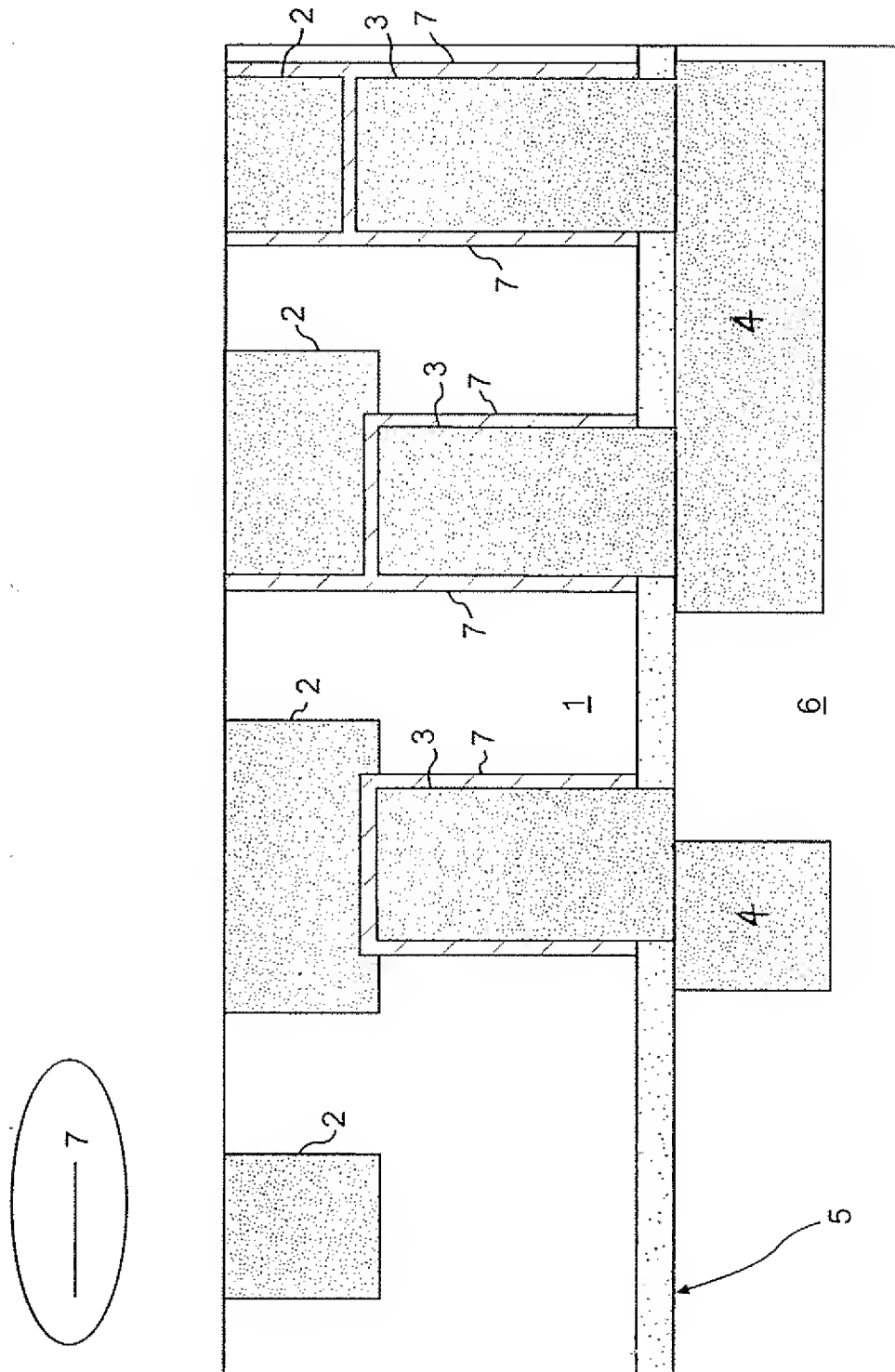


FIG. 7